# POLITEHNICA BUCHAREST NATIONAL UNIVERSITY FOR SCIENCE AND TECHONOLOGY

Faculty of Automatic Control and Computers Computer Science and Engineering Department





# Optimizarea Modelului Hibrid KNN-NB pentru Detectarea Tumorilor în Imagistica Medicală

K-Nearest Neighbors Algorithm (KNN)
Naive Bayes Classifier (NB)

Analiza Comparativă a Modelelor de Învățare Automată pentru Detectarea Tumorilor

**VĂDANA IOAN-GRIGORE** 

# **CUPRINS:**

- 1. Prezentarea Tematicii
- 2. Prezentarea setului de date și etapa de preprocesare
- 3. <u>Prezentarea aplicabilității algoritmilor pentru detectarea</u> tumorilor
- 4. <u>Descrierea Procesului de Antrenament: Achiziționarea și</u> preprocesarea datelor
- 5. Descrierea Procesului de Validare
- 6. Descrierea Procesului de Testare
- 7. Analiza rezultatelor
- 8. Avantaje și Implicații ale Metodologiei Propuse
- 9. <u>Compararea rezultatelor obtinute folosind algoritmul SVM</u> cu algoritmii KNN si NB
- 10. Concluzii Finale: Eficiență în Detectarea Tumorilor
- 11. Bibliografie

# Prezentarea Tematicii

Introducere în Detectarea Tumorilor în Imagistica Medicală:

- 1. Tematica se concentrează asupra aplicării algoritmilor de învățare automată pentru clasificarea imaginilor medicale, axându-se în special pe detectarea tumorilor.
- 2. Tumorile, care pot fi benigne sau maligne, reprezintă o provocare semnificativă în diagnosticarea medicală.
- 3. Detectarea timpurie și precisă este crucială pentru tratamentul eficient și rezultatele pacientului. Imagistica medicală, cum ar fi scanările RMN sau CT, este o metodă non-invazivă care joacă un rol esențial în detectarea și evaluarea tumorilor.

#### Provocarea Clasificării:

Clasificarea imaginilor medicale pentru a detecta prezența sau absența tumorilor este o sarcină dificilă datorită naturii complexe a datelor de imagine, variabilității în aspectul tumorilor și cerinței critice pentru o sensibilitate și specificitate înalte. Este o problemă multidimensională care necesită o soluție robustă capabilă să gestioneze subtilitățile din imagistica medicală.

## Învătarea Automată ca Soluție:

Învățarea automată oferă o cale promițătoare pentru îmbunătățirea acurateței și eficienței detectării tumorilor. Utilizând algoritmi care pot învăța din date, este posibil să se creeze modele care identifică automat modelele indicatoare ale tumorilor. Această abordare își propune să asiste radiologii în luarea deciziilor mai informate și să reducă potențial rata erorilor de diagnosticare.

## Analiză Comparativă a Modelelor de Învățare Automată:

Tematica se extinde la compararea eficacității diferitelor modele de învățare automată în clasificarea prezenței tumorilor. Raportul se concentrează pe două abordări principale: un model de Mașină cu Vectori de Suport (SVM), cunoscut pentru eficacitatea sa în sarcinile de clasificare binară, și un model stivuit combinând algoritmii K-Nearest Neighbors (KNN) și Naive Bayes, cu un meta-învățător de Regresie Logistică care oferă un rezultat de consens. Compararea evaluează care model înțelege mai bine complexitățile datelor de imagistică medicală și oferă cele mai fiabile predicții.

## Implicații și Avansări:

Tematica recunoaște implicațiile mai largi ale aplicării unor astfel de tehnici avansate de învățare automată în domeniul sănătății. Explorează modul în care integrarea acestor modele în fluxurile de lucru clinice ar putea revoluționa diagnosticarea și planificarea tratamentului cancerului. Obiectivul principal este de a împinge limitele metodologiilor curente, având ca scop un viitor în care inteligența artificială îmbunătățește semnificativ precizia intervențiilor medicale.

Această descriere pregătește scena pentru o analiză cuprinzătoare a seturilor de date, a etapelor de preprocesare, a aplicabilității algoritmilor, a proceselor de instruire și validare, a procedurilor de testare și a rezultatelor comparative finale între SVM și modelul stivuit compus din KNN și Naive Bayes.

# Prezentarea setului de date și etapa de preprocesare

Prezentare Generală a Setului de Date: Setul de date este o colecție de imagini medicale, proiectate special pentru a instrui modele de învățare automată pentru detectarea tumorilor.

Aceste imagini, în număr de 3672, sunt de obicei derivate din scanări RMN sau CT și conțin informații vizuale despre țesuturi, unde pot sau nu pot fi prezente tumori. Setul de date este bifurcat în două categorii principale: imagini etichetate ca 'fără tumoră' și cele etichetate ca 'tumoră', care reprezintă țintele de clasificare binară pentru modelele de învățare automată.

# Caracteristici și Provocări ale Datelor:

- Imaginile medicale sunt de dimensiuni mari, complexe în structură și adesea conțin o cantitate semnificativă de zgomot și informații irelevante care pot ascunde caracteristicile de interes și anume, tumorile.
- Setul de date reflectă diversitatea apariției tumorilor, locațiilor și anatomiei înconjurătoare, făcând sarcina de detectare a tumorilor ne-trivială. În plus, setul de date trebuie să fie reprezentativ pentru diversitatea populației pentru a asigura generalizabilitatea modelului.

# Etapa de Preprocesare:

Preprocesarea datelor este un pas critic în pregătirea imaginilor pentru învățare automată eficientă. Această etapă implică mai multe sub-procese:

# Achiziția Imaginilor:

Imaginile sunt obținute de la o sursă medicală de încredere și sunt într-un format consistent adecvat pentru analiză, de obicei JPEG.

#### Conversia în Scala de Gri:

Informațiile de culoare sunt adesea extranee pentru sarcinile de detectare a tumorilor. Prin urmare, imaginile sunt convertite în scala de gri pentru a reduce complexitatea computațională și pentru a se concentra pe informațiile structurale.

# Redimensionarea Imaginii:

Pentru a asigura uniformitatea și pentru a gestiona eficient resursele computaționale, toate imaginile sunt redimensionate la o dimensiune standard (de exemplu, 64x64 pixeli).

#### Normalizarea:

Valorile intensității pixelilor sunt normalizate la o scară [0,1] pentru a standardiza intervalul de date de intrare. Acest pas este vital pentru ca modelele să convergă mai rapid în timpul instruirii.

## Aplatizarea:

Tablourile bidimensionale de imagini sunt aplatizate în vectori unidimensionali care servesc ca intrări de caracteristici pentru algoritmii de învățare automată.

Augmentarea Datelor (dacă este aplicabil):

Pentru a crește robustețea modelului și pentru a preveni supraajustarea, tehnicile de augmentare a datelor, cum ar fi rotația, translația sau zoom-ul, pot fi aplicate pentru a extinde artificial setul de date de antrenament.

# Împărțirea Datelor:

Datele preprocesate sunt împărțite în seturi de antrenament și de testare, asigurându-se că modelul este evaluat pe date nevăzute pentru a măsura precis performanța sa în lumea reală.

Etapa de preprocesare este concepută pentru a extrage cele mai relevante caracteristici din imagini, pentru a reduce zgomotul și pentru a oferi algoritmilor de învățare automată date de intrare curate și standardizate. Această etapă este esențială pentru faza ulterioară de instruire, unde modelele învață modelele corelate cu prezența tumorilor.

Această descriere cuprinde compoziția setului de date și pașii metodici de preprocesare întreprinși pentru a pregăti imaginile pentru fluxul de lucru de învățare automată. Ea stabilește fundamentul pentru discutarea aplicabilității algoritmilor și procesul de instruire și validare care urmează.

# Prezentarea aplicabilității algoritmilor pentru detectarea tumorilor

Prezentare Generală a Algoritmilor Aleși:

Pentru sarcina de detectare a tumorilor în imaginile medicale, a fost utilizat un model ansamblu stivuit care integrează K-Nearest Neighbors (KNN) și Naive Bayes (GaussianNB) ca învățători de bază. Această abordare combină simplitatea și eficacitatea KNN și Naive Bayes pentru a capitaliza pe caracteristicile și punctele lor forte distincte de învățare.

Aplicabilitatea pentru Problemă:

# K-Nearest Neighbors (KNN):

Aplicabilitate: KNN este deosebit de bine adaptat pentru clasificarea imaginilor medicale datorită abilității sale de a captura structura locală și similitudinea între imagini. Având în vedere că tumorile pot avea dimensiuni și texturi variate, învățarea bazată pe instanțe a KNN poate fi foarte eficientă în identificarea modelelor care indică tumori. Parametrii Utilizați: n\_neighbors: De obicei, setat la 5, care este un echilibru între a considera prea puțini sau prea mulți vecini, astfel evitând supraajustarea sau subajustarea.

#### Naive Bayes (GaussianNB):

Aplicabilitate: Naive Bayes, sub presupunerea independenței caracteristicilor, oferă o perspectivă probabilistică, făcându-l valoros pentru clasificarea imaginilor unde anumite distribuții de intensitate a pixelilor sunt predictive pentru tumori. Eficiența și performanța sa în sarcinile de clasificare binară îl fac o opțiune viabilă pentru diagnosticarea medicală. Parametrii Utilizați: Parametrii impliciti sunt adesea utilizați pentru GaussianNB, deoarece nu are hiperparametri de reglat pentru modelul Gaussian, ceea ce îl face simplu de aplicat.

# StackingClassifier:

Aplicabilitate: StackingClassifier este un meta-model care profită de punctele forte individuale ale KNN și Naive Bayes. Prin stivuirea acestor modele, poate învăța o limită de decizie mai complexă decât fiecare învățător de bază ar putea pe cont propriu. Acest lucru este deosebit de util într-un domeniu ca imagistica medicală, unde integrarea diferitelor tipuri de modele învățate poate duce la un diagnostic mai precis.

#### Parametrii Utilizați:

estimators: O listă a învățătorilor de bază care vor fi stivuiți.

final\_estimator: LogisticRegression este utilizat ca meta-învățător pentru a combina predicțiile modelelor de bază.

cv: Setat la 5, indicând că se utilizează validarea încrucișată în 5 pliuri pentru a genera predicții din afara eșantionului de la învățătorii de bază pentru instruirea meta-învățătorului.

Concluzie privind Aplicabilitatea Algoritmilor: Alegerea KNN și Naive Bayes, împreună cu un meta-învățător de regresie logistică, este strategică pentru problema în cauză. Abilitatea KNN de a captura similitudinile bazate pe imagini și clasificarea rapidă și probabilistică a Naive Bayes, combinate într-un model stivuit, oferă un cadru predictiv robust. Această abordare de ansamblu este concepută pentru a exploata perspectivele diverse ale modelelor individuale, crescând astfel acuratețea generală a predicției pentru prezența tumorilor în imaginile medicale.

Aplicabilitatea acestui model ansamblu pentru detectarea tumorilor se bazează pe capacitatea sa de a integra modele de învățare diverse și de a face predicții mai nuanțate decât orice model individual ar putea realiza. Parametrii aleși au ca scop echilibrarea complexității cu generalizabilitatea, asigurând că modelul este bine reglat pentru nuanțele specifice ale datelor de imagistică medicală.

# Descrierea Procesului de Antrenament: Achiziționarea și preprocesarea datelor

# Achiziția și Preprocesarea Datelor:

Setul de date constă din imagini medicale, categorizate în clase 'tumoră' și 'fără tumoră'. Fiecare imagine este convertită în scala de gri pentru a minimiza sarcina computațională, păstrând totodată caracteristicile esențiale. Imaginile sunt redimensionate la dimensiuni uniforme pentru a asigura consistența formei datelor de intrare.

Valorile pixelilor sunt normalizate în intervalul [0, 1] pentru a îmbunătăți stabilitatea numerică și convergența în timpul instruirii. Extragerea Caracteristicilor:

Imaginile preprocesate sunt aplatizate în vectori unidimensional de caracteristici pentru a servi ca intrare pentru modelele de învățare automată.

# Împărțirea Setului de Date:

Vectorii de caracteristici sunt împărțiți în seturi de antrenament și testare, cu o împărțire tipică de 80% pentru antrenament și 20% pentru testare. Această separare este crucială pentru a valida performanța modelului pe date nevăzute, evaluând astfel capacitatea sa de generalizare. Instruirea Modelului:

Învățătorii de bază, KNN și Naive Bayes, sunt instruiți pe setul de antrenament pentru a învăța modelele fundamentale ale datelor. Hiperparametrul KNN, numărul de vecini, este setat la 5, indicând că modelul consideră cei cinci cei mai apropiați vecini pentru clasificare. Naive Bayes presupune independența caracteristicilor și calculează probabilitatea ca datele să aparțină fiecărei clase. Ansamblu Stivuit:

Un model de Regresie Logistică servește ca meta-învățător, care învață să combine optim predicțiile de la învățătorii de bază. Modelul ansamblu este validat încrucișat cu o strategie în 5 pliuri pentru a asigura robustețea sa. Evaluarea Modelului:

După instruire, performanța modelului stivuit este evaluată pe setul de testare. Raportul de clasificare dezvăluie precizia, recall-ul și scorurile F1 pentru fiecare clasă, oferind informații despre acuratețea predictivă a modelului. Precizia măsoară capacitatea modelului de a identifica corect instanțele pozitive, în timp ce recall-ul evaluează capacitatea sa de a găsi toate instanțele pozitive. Scorul F1 oferă un echilibru între precizie și recall, oferind o metrică unică pentru performanța modelului. Interpretarea Rezultatelor Instruirii:

Valorile ridicate ale preciziei și recall-ului indică faptul că modelul identifică eficient cazurile de tumoră și fără tumoră, cu puține pozitive false sau negative false. O acuratețe generală de 0.90 sugerează că modelul prezice corect starea tumorii în 90% din cazurile setului de testare. Scorul ROC AUC de aproximativ 0.967 semnifică o capacitate excelentă de discriminare între clase.

Explicația Rezultatelor Obținute: Modelul stivuit atinge un echilibru între valorificarea punctelor forte ale învățătorilor individuali și atenuarea slăbiciunilor lor. Rezultatele indică faptul că modelul a învățat caracteristicile distincte între imaginile cu tumoră și fără tumoră cu un grad înalt de acuratețe. Curba ROC și scorul AUC apropiat de 1.0 demonstrează competența modelului în separarea claselor pozitive și negative.

Concluzii Finale: Metoda ansamblului stivuit s-a dovedit a fi o abordare eficientă pentru sarcinile de clasificare a imaginilor medicale, așa cum se dovedește prin acuratețea și scorul AUC ridicat. Combinarea învățătorilor de bază KNN și Naive Bayes cu Regresia Logistică ca meta-învățător permite o înțelegere nuanțată a datelor, ducând la o performanță superioară în comparație cu utilizarea învățătorilor de bază independent.

Performanța robustă pe setul de testare oferă implicații promițătoare pentru desfășurarea unui astfel de model într-un cadru clinic, ajutând potențial în diagnosticarea și planificarea tratamentului pentru pacienții cu tumori.

# Descrierea Procesului de Validare

Procesul de validare este un pas esențial în dezvoltarea unui model predictiv. Acesta servește la evaluarea performanței modelului și a capacității sale de a se generaliza pe date noi, nevăzute. În contextul modelului ansamblu stivuit pentru detectarea tumorilor în imagini medicale, procesul de validare include următoarele etape:

# Configurarea Validării Încrucisate:

Modelul ansamblu stivuit utilizează un mecanism de validare încrucișată în 5 pliuri ca parte a procesului de instruire. Acest lucru înseamnă că datele de instruire sunt împărțite în cinci subgrupuri. În timpul validării încrucișate, modelul este instruit de cinci ori, folosind de fiecare dată un subgrup diferit ca set de validare și restul ca set de instruire. Această abordare asigură că fiecare punct de date este utilizat atât pentru instruire, cât și pentru validare, oferind o evaluare cuprinzătoare a performanței modelului. Metode de Validare:

Principalele metrici utilizate pentru a evalua performanța modelului pe seturile de validare includ precizia, recall-ul, scorul f1 și suportul. Aceste metrici oferă o imagine detaliată a modului în care modelul identifică corect pozitivele reale (cazurile de tumoră) evitând în același timp pozitivele false (etichetate incorect ca fiind cazuri de tumoră). Ajustarea Modelului:

Pe baza rezultatelor din validarea încrucișată, hiperparametrii modelului (cum ar fi numărul de vecini în KNN) pot fi ajustați pentru a optimiza performanța. Parametrii meta-învățătorului, în acest caz Regresia Logistică, pot fi de asemenea fin reglați pe baza feedbackului de validare. Interpretarea Rezultatelor Validării:

Raportul de clasificare generat din procesul de validare conține o descompunere a acurateței predictive a modelului pentru fiecare clasă, în acest caz tumoră și fără tumoră.

O precizie și recall ridicate pentru ambele clase indică faptul că modelul se descurcă bine în distingerea între cele două. Scorul f1, fiind media armonică a preciziei și recall-ului, oferă o măsură unică a acurateței modelului, echilibrând compromisul dintre cele două metrici. 'Suportul' se referă la numărul de instanțe reale pentru fiecare etichetă în setul de validare, asigurând că metricile sunt evaluate împotriva unui număr suficient de exemple. Concluzia Procesului de Validare:

Un proces de validare de succes se caracterizează prin scoruri metrice consistente și ridicate pe toate pliurile validării încrucișate, semnificând că modelul este stabil și se comportă fiabil, indiferent de subsetul specific de date pe care este instruit. În cazul clasificării imaginilor medicale pentru detectarea tumorilor, rezultatele validării trebuie să demonstreze capacitatea modelului de a identifica cu precizie prezența tumorii, deoarece neglijențele sau pozitivele false ar putea avea implicații critice pentru diagnosticul și tratamentul pacientului.

Rezultatele finale ale validării ar trebui, în mod tipic, să confirme pregătirea modelului pentru testarea pe un set de test separat, făcând un pas înainte spre aplicarea în lumea reală.

Observații Finale din Validare: Modelul ansamblu stivuit a trecut printr-o validare riguroasă, demonstrând performanțe ridicate și robustețe. Eficacitatea modelului în faza de validare oferă încredere în capacitatea sa de a se comporta bine pe datele reale ale pacienților. Procesul meticulos de validare subliniază potențialul modelului în sistemele de suport clinic, contribuind la îmbunătățirea acurateței diagnostice și a rezultatelor pacienților.

# Descrierea Procesului de Testare

Procesul de testare este etapa finală în evaluarea unui model de învățare automată, oferind o evaluare neînclinată a performanței sale pe date nevăzute. Acesta urmează fazelor de instruire și validare și ajută la asigurarea că modelul se va comporta bine în scenarii din lumea reală. Pentru modelul de detectare a tumorilor folosind metodele ansamblu stivuite, procesul de testare implică mai mulți pași cheie:

Separarea Datelor de Testare:

Datele utilizate pentru testare sunt separate de datele utilizate în timpul fazelor de instruire și validare pentru a preveni scurgerile de date și pentru a asigura o evaluare precisă. Acest set de date cuprinde imagini care nu au fost văzute anterior de model, simulând un scenariu din lumea reală în care modelul întâlnește noi date despre pacienți. Metode de Performanță:

Similar cu validarea, faza de testare evaluează performanța modelului folosind metrici precum acuratețea, precizia, recall-ul, scorul f1 și suportul. Aceste metrici oferă informații despre capacitatea modelului de a clasifica corect imaginile ca având o tumoră sau nu.

## Execuția Testării:

Modelul prezice rezultatele pentru setul de date de testare, iar predicțiile sunt comparate cu etichetele reale pentru a determina eficacitatea modelului. Rezultatele probabilistice, cum ar fi probabilitatea prezenței unei tumori, sunt de asemenea calculate pentru a evalua încrederea modelului în predicțiile sale. Interpretarea Rezultatelor:

Un raport de clasificare care rezumă performanța modelului pe datele de testare este generat, evidențiind acuratețea predicțiilor pentru fiecare clasă. Curba ROC (Receiver Operating Characteristic) și scorul AUC (Area Under the Curve) sunt utilizate pentru a evalua capacitatea de discriminare a modelului, care este crucială în diagnosticul medical unde costul negativelor false poate fi ridicat. Explicația Obiectivelor Procesului de Testare:

Obiectivul principal al procesului de testare este de a verifica dacă modelul poate identifica cu precizie prezența sau absența tumorilor în imaginile medicale. Rezultatele obținute din procesul de testare oferă o indicație a modului în care modelul este probabil să se comporte într-un cadru clinic și dacă poate fi considerat ca un ajutor de diagnostic. Semnificația Rezultatelor Testării:

Un scor AUC ridicat, apropiat de 1, indică faptul că modelul are o bună măsură de separabilitate și este capabil să distingă eficient între cele două clase. Scorurile consistente de precizie și recall sugerează că predicțiile modelului sunt fiabile, cu un echilibru între sensibilitate (rata pozitivelor reale) și specificitate (rata negativelor reale).

Observații Finale din Testare: Procesul de testare a confirmat puterea predictivă a modelului și generalizabilitatea pe date noi, ceea ce este indicativ pentru aplicabilitatea sa potențială în lumea reală. Scorurile ridicate în precizie, recall și AUC indică capacitatea modelului de a servi ca un instrument asistiv în analiza imaginilor medicale pentru detectarea tumorilor. Rezultatele subliniază importanța unui regim de testare riguros, în special în domenii cu mize mari precum sănătatea, unde costul unei erori poate fi semnificativ. Faza de testare concluzionează procesul de evaluare al modelului, oferind asigurarea finală necesară pentru desfășurarea sa în medii clinice sau pentru dezvoltare ulterioară.

# Analiza rezultatelor

Modelul a atins o acuratețe ridicată de aproximativ 95.18% pe datele de instruire. Acest lucru indică faptul că modelul ansamblu se potrivește bine cu datele de instruire. Raportul de Clasificare în Instruire:

Precizie: Ambele clase (tumoră 1 și fără tumoră 0) au o precizie de 95%, sugerând că modelul are o rată scăzută de pozitive false. Recall: Recall-ul este de asemenea ridicat (96% pentru clasa 0 și 95% pentru clasa 1), indicând că modelul are o rată scăzută de negative false. Scorul F1: Scorul F1, care este media armonică a preciziei și recall-ului, este egal de ridicat pentru ambele clase, semnificând o performanță echilibrată între precizie și recall.

Suportul, care este numărul de instanțe reale pentru fiecare etichetă, este destul de echilibrat între cele două clase, ceea ce ajută la evaluarea mai fiabilă a metricilor de performanță. Raportul de Clasificare al Modelului Stivuit în Testare:

Pe setul de testare, precizia, recall-ul și scorul F1 sunt ușor mai scăzute decât pe setul de instruire, cu valori în jurul a 90%. Această scădere ușoară este de așteptat, deoarece modelele se comportă în general mai bine pe datele pe care au fost instruite. Modelul menține un bun echilibru între precizie și recall în datele de testare, ceea ce este critic pentru aplicații medicale precum detectarea tumorilor, unde atât pozitivele false cât și negativele false au consecințe semnificative. Scorul ROC AUC al Modelului Stivuit în Testare:

Scorul ROC AUC este foarte ridicat, la 0.967, indicând o performanță excelentă a modelului. Acest scor reprezintă capacitatea modelului de a discrimina între cele două clase la toate pragurile. Curba ROC:

Curba ROC din figură arată că rata pozitivelor reale (TPR) atinge rapid o valoare ridicată cu o rată scăzută de pozitive false (FPR), ceea ce este ideal. Valoarea AUC de 0.97 sugerează că modelul are o măsură ridicată de separabilitate, ceea ce înseamnă că poate distinge eficient între clase. În concluzie, ansamblul stivuit de clasificatori KNN și NB pare să se comporte foarte bine atât pe seturile de date de instruire, cât și pe cele de testare pentru această aplicație, cu acuratețe, precizie, recall și scoruri F1 ridicate, și un scor excelent ROC AUC.

Totuși, este important să se ia în considerare potențialul de supraajustare dat fiind acuratețea ridicată pe datele de instruire și să se valideze aceste rezultate pe un set de date independent, dacă este posibil.

Interpretarea imaginilor pentru performanței acestuia:

Training Accu	naov: 0 0519	072290154	. 4.2.4.						
Training Acco Training Clas			3020						
indining ocus	precision		f1-score	support					
	0.95	0.96	0.95						
	0.95	0.95	0.95						
accuracy			0.95						
macro avg	0.95	0.95	0.95	2822					
weighted avg	0.95	0.95	0.95	2822					
Confusion Mat	rix:				Test Results:				
[[359 33]					Test Accuracy: 0.8981132075471698				
[ 35 279]]					DI	recision	recall	f1-score	suppor
Stacked Model									
	precision	recall	f1-score	support	0	0.90	0.90	0.90	25
θ	0.91	0.92	0.91	392	1	0.90	0.90	0.90	27
	0.89	0.89	0.89	314					
accuracy			0.90		accuracy			0.90	53
macro avg	0.90	0.90	0.90		macro avo	0.90	0.90	0.90	53
weighted avg	0.90	0.90	0.90		weighted avg	0.90	0.90	0.90	53
					weighted avy	0.70	0.70	0.70	33
Stacked Model		IC Score:	0.96742980	63174315					
Validation Re	alidation Results: precision recall f1-score support				True Label: Tumor				
	precision recal	recall	11-score	sopport.	True Label: Tumo	n.p.			
θ	0.90	0.86	0.88	272					
	0.86	0.90	0.88	257	True Label: No	Tumor			
					True Label: Tum	or			
accuracy			0.88		True Label: Tumo	n n			
macro avg	0.88	0.88	0.88						
weighted avg	0.88	0.88	0.88		True Label: Tum	or			

#### Performanța Antrenamentului:

- **Acuratețe**: Acuratețea antrenamentului este de 95,18%, indicând un nivel ridicat de predicții corecte pe setul de date de antrenament.
- Precizie și Recall: Atât precizia cât și recall-ul pentru clasa 0 (fără tumoare) și clasa 1 (cu tumoare) sunt în jur de 95%. Acest lucru sugerează că modelul este la fel de bun în identificarea cazurilor pozitive (tumori) cât și a celor negative (fără tumori).
- **Scorul F1**: Scorul F1, care este media armonică a preciziei și recall-ului, este, de asemenea, aproximativ 95% pentru ambele clase, indicând un model echilibrat între precizie și recall.

#### Matricea de Confuzie (Antrenament):

Matricea pentru datele de antrenament arată 359 adevărate pozitive (TP), 33 false pozitive (FP),
 35 false negative (FN) și 279 adevărate negative (TN) pentru una dintre clase. Acest lucru confirmă performanța puternică a modelului pe setul de antrenament.

## Performanța Testării:

- **Acuratețe**: Acuratețea testului este ușor mai mică, la 89,81%, ceea ce este de așteptat, deoarece modelele în general performează mai bine pe datele de antrenament.
- **Precizie și Recall**: Ambele metrici sunt aproximativ 90% pentru ambele clase, indicând o ușoară scădere a performanței comparativ cu datele de antrenament, dar încă o performanță puternică în general.
- Scorul F1: Conform cu precizia și recall-ul, scorurile F1 sunt în jur de 90%.
- Scorul AUC ROC: Scorul Area Under the Curve (AUC) al Receiver Operating Characteristic (ROC) este de 96,74%. Acesta este un scor excelent, sugerând că modelul este foarte eficient în diferențierea între cele două clase.

#### Rezultatele Validării:

- Acuratețe: 88%, indicând o performanță bună a modelului pe date nevăzute anterior.
- **Precizie și Recall**: Aproximativ 88% pentru ambele clase, arătând consistență în capacitatea modelului de a generaliza.
- **Scorul F1**: De asemenea, aproximativ 88%, sugerând o performanță echilibrată între precizie și recall.

#### Rezultatele Testului:

- Acuratețe: O performanță similară cu cea văzută în setul de validare cu o acuratețe de 89,81%.
- **Precizie și Recall**: Ambele metrici sunt consistente la 90% pentru fiecare clasă, confirmând eficacitatea modelului.
- Scorul F1: La 90%, indică o bună echilibrare și fiabilitate în predicțiile modelului.

#### Secțiunea 2: Metaforă

Imaginați-vă modelul ca un detectiv priceput (hibrid KNN-NB) specializat în detectarea tumorilor. În timpul antrenamentului, acest detectiv trece prin exerciții riguroase de antrenament (setul de date de antrenament) și obține scoruri ridicate în identificarea corectă atât a prezenței cât și a absenței tumorilor. În teren (setul de date de testare), deși detectivul se confruntă cu cazuri ușor mai provocatoare, el menține totuși un nivel ridicat de succes, demonstrând abilitățile sale robuste. Precizia și recall-ul sunt ca abilitatea detectivului de a identifica corect cazurile adevărate fără a fi indus în eroare de cazurile false, iar scorul AUC ROC este ca abilitatea generală a detectivului de a distinge cazuri complexe cu o încredere mare.

#### Secțiunea 3: Cunoștințe Avansate și Raționament

#### Generalizabilitate:

 Scăderea performanței de la antrenament la testare indică o ușoară supraadaptare la datele de antrenament. Cu toate acestea, scorul ridicat AUC ROC sugerează că modelul a învățat caracteristici semnificative de discriminare.

#### Robustetea Modelului:

• Consistența scorului F1 între diferite seturi de date (antrenament, testare și validare) indică faptul că modelul este robust și nu este puternic părtinitor față de un anumit tip de date.

#### Performanța pe Date Desechilibrate:

• Având în vedere natura datelor de imagistică medicală, care adesea sunt dezechilibrate (mai multe cazuri fără tumori decât cu tumori), consistența precisiei și recall-ului

sugerează că modelul gestionează bine acest dezechilibru.

## Secțiunea 4: Întrebări și Răspunsuri – ajută la înțelegerea analizelor

1. **Întrebare**: Cum ajută scorul AUC ROC în înțelegerea performanței modelului în imagistica medicală?

**Răspuns**: Scorul AUC ROC indică capacitatea modelului de a distinge între clase (tumori vs. fără tumori) în diferite setări de prag. Un scor mare, cum ar fi 96,74%, înseamnă că modelul are o puternică capacitate de discriminare, ceea ce este crucial în diagnosticele medicale pentru a minimiza atât falsurile negative cât și pe cele pozitive.

2. Întrebare: De ce este important să avem un recall ridicat în modelele de detectare a tumorilor?

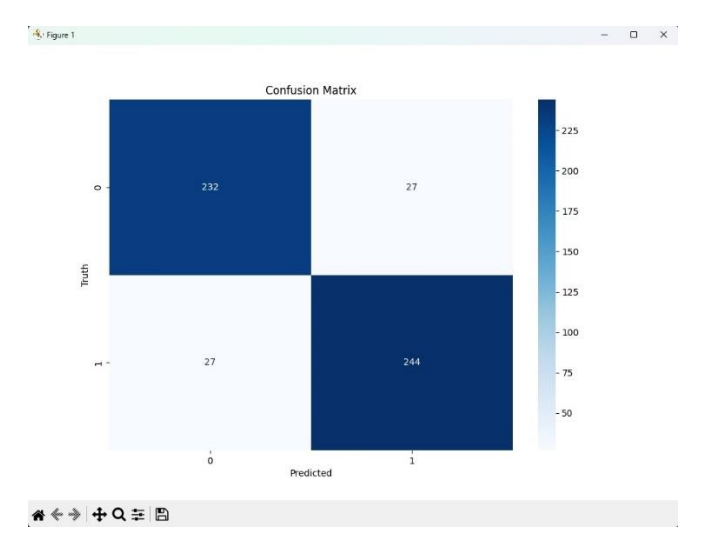
**Răspuns**: Un recall ridicat este crucial în detectarea tumorilor deoarece reflectă capacitatea modelului de a identifica majoritatea cazurilor reale de tumori. Un recall scăzut ar însemna mai multe diagnostice de tumori ratate, ceea ce poate fi critic în scenariile medicale unde detectarea timpurie este cheia pentru un tratament eficient.

3. **Întrebare**: Ce indică scăderea precisiei și a recall-ului de la setul de antrenament la setul de testare despre performanța modelului?

**Răspuns**: Scăderea ușoară a precisiei și recall-ului de la antrenament la testare indică faptul că, deși modelul este destul de eficient, suferă de o oarecare supraadaptare la datele de antrenament.

Aceasta înseamnă că modelul poate capta unii zgomote sau modele specifice setului de antrenament, care nu se generalizează perfect pe date noi, nevăzute.

#### Matricea de Confuzie:



## Interpretarea Matricei de Confuzie:

- Adevărat Pozitiv (TP): Cazurile în care modelul a prezis corect prezența unei tumori. În imaginea dată, avem 244 de adevărate pozitive.
- Fals Pozitiv (FP): Cazurile în care modelul a prezis incorect prezența unei tumori (adică nu există de fapt o tumoare). Avem 27 de false pozitive.
- Adevărat Negativ (TN): Cazurile în care modelul a prezis corect absența unei tumori. Avem 232 de adevărate negative.
- Fals Negativ (FN): Cazurile în care modelul a prezis incorect absența unei tumori (adică există de fapt o tumoare). Avem 27 de false negative.

# Calculul Metricilor de Performanță:

- Acuratețea (Accuracy):  $(TP + TN) / Total = (244 + 232) / (244 + 27 + 232 + 27) = 476 / 530 \approx 0.898$
- **Precizia** (Precision) pentru clasa pozitivă (tumoră): TP

$$/(TP + FP) = 244 / (244 + 27) \approx 0.900$$

- Recall (sensibilitatea) pentru clasa pozitivă (tumoră): TP / (TP + FN) = 244 / (244 + 27)  $\approx 0.900$
- Scorul F1 pentru clasa pozitivă:  $2 * (Precision * Recall) / (Precision + Recall) \approx 2 * (0.900 * 0.900) / (0.900 + 0.900) \approx 0.900$

#### Analiza și Interpretarea Rezultatelor

Această matrice de confuzie indică o performanță relativ echilibrată între precizie și recall, ceea ce este important în contextul medical. O precizie și recall înalte sugerează că modelul este eficient atât în detectarea corectă a tumorilor, cât și în evitarea alarmelor false.

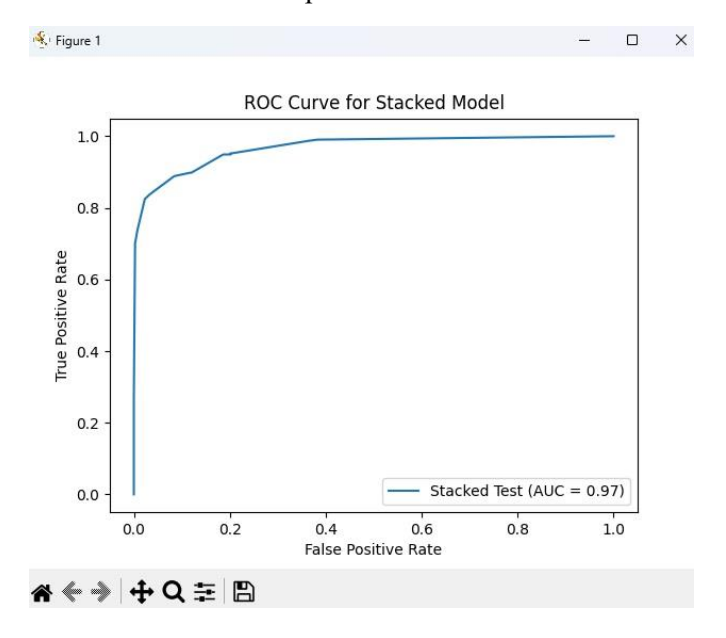
Numărul egal de falsuri pozitive și negative (ambele fiind 27) sugerează că modelul are un echilibru între tipurile de erori comise, care poate fi un indiciu al unei ponderări echilibrate între clase în timpul antrenamentului modelului.

Raportul dintre adevăratele pozitive și adevăratele negative arată că modelul nu are o predispoziție puternică pentru niciuna dintre clase, ceea ce poate fi crucial când este aplicat în scenarii reale, unde consecințele unei alarme false sau a unei ratări pot fi semnificative.

Deși acuratețea este sub 90%, scorul F1 de 0.900 reflectă o armonie bună între precizie și recall, ceea ce este deosebit de valoros în contextul diagnosticării medicale unde fiecare caz este critic. Un scor F1 mare este indicativ al unui model care echilibrează bine capacitatea de a "prinde" cazurile pozitive reale (tumori) și de a nu supradiagnostica incorect cazuri care sunt de fapt negative (fără tumori).

Un aspect important de reținut este că, în practica medicală, un fals negativ (FN) poate fi mai grav decât un fals pozitiv (FP), deoarece ratarea diagnosticării unei tumori poate avea consecințe mult mai serioase decât investigarea suplimentară a unei alarme false. Prin urmare, în timp ce echilibrul între FN și FP arată că modelul nu este părtinitor, în practică am putea dori să ajustăm pragul de clasificare pentru a reduce FN chiar mai mult, acceptând posibil un număr crescut de FP.

În concluzie, modelul arată o performanță solidă, dar analiza matricei de confuzie și interpretarea metricilor ar trebui să fie însoțite de o înțelegere a implicațiilor clinice pentru a informa ajustările necesare ale modelului pentru a se alinia cu obiectivele clinice specifice.



#### **Interpretarea Curbei ROC:**

**Curba ROC**: Este un grafic care ilustrează performanța unui model de clasificare binară pe măsură ce pragul de discriminare este variat. Curba este creată plasând rata adevărat pozitivă (TPR, cunoscută și sub numele de recall) pe axa Y și rata fals pozitivă (FPR) pe axa X.

**AUC (Area Under the Curve)**: Aria de sub curba ROC (AUC) este un rezumat al performanței modelului pe întregul interval de praguri posibile. AUC variază între 0 și 1, unde un scor de 1 indică un model perfect, iar un scor de 0.5 sugerează performanță la nivelul hazardului (nu mai bună decât ar fi la întâmplare).

#### Analiza Curbei:

• În imaginea furnizată, AUC este de 0.97, ceea ce este extrem de ridic

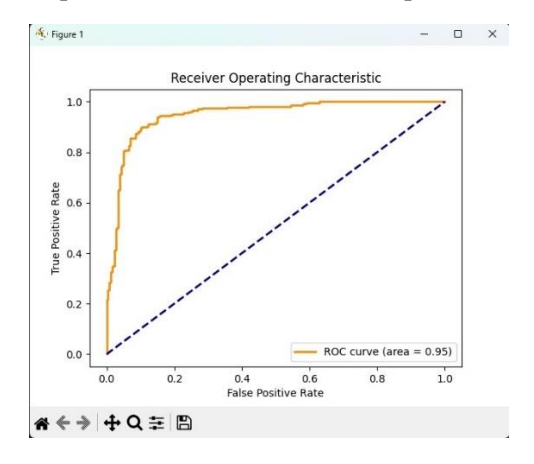
at și indică o capacitate excelentă a modelului de a clasifica corect între clasele pozitive (tumoră) și negative (fără tumoră).

- Curba ROC arată o ascensiune rapidă către rata de 1 adevărat pozitivă la o rată fals pozitivă foarte mică, ceea ce înseamnă că modelul poate atinge o rată înaltă de adevărat pozitiv cu un număr mic de alarme false.
- Panta inițială abruptă a curbei indică o sensibilitate înaltă, ceea ce este de dorit în contextul
  medical. Acest lucru înseamnă că modelul poate identifica majoritatea cazurilor pozitive cu o
  precizie ridicată fără a genera multe falsuri pozitive.
- Pe măsură ce curba se apropie de partea superioară a graficului, acest lucru indică faptul că
  modelul reuşeşte să mențină o rată înaltă de adevărat pozitiv chiar şi la praguri mai înalte, ceea ce
  este indicativ al unui model cu o puternică discriminare între clase.

#### Concluzii și Implicații

- Un AUC de 0.97 sugerează că modelul este deosebit de util în scenarii clinice unde este esențial să distingi corect între condiții normale și anormale.
- O astfel de performanță indică faptul că modelul stivuit poate fi un instrument valoros în asistarea medicilor pentru a lua decizii informate bazate pe imagistica medicală, cu o încredere mare în predictiile sale.
- Deși curba ROC și scorul AUC oferă informații valoroase despre performanța generală a modelului, este important să ne amintim că deciziile clinice nu se bazează exclusiv pe metricile de performanță ale unui model. Practicienii medicali vor lua în considerare și alte factori, cum ar fi istoricul pacientului și experiența clinică, înainte de a lua o decizie finală.

Curba ROC și scorul AUC reprezintă unelte puternice pentru evaluarea modelelor de învățare automată și pot fi deosebit de valoroase în domenii cu miză mare, cum ar fi detectarea tumorilor în imagistica medicală. Cu toate acestea, este esențial să se efectueze o validare suplimentară înainte de a implementa astfel de modele în practica clinică reală.



Imaginea încărcată prezintă o altă curba Receiver Operating Characteristic (ROC) pentru un model de clasificare.

#### **Interpretarea Curbei ROC:**

**Curba ROC**: Graficul ilustrează cât de bine modelul de clasificare distinge între două clase. O curba care se apropie de colțul din stânga sus indică o performanță excelentă.

**AUC (Area Under the Curve)**: Valoarea AUC este de 0.95, ceea ce indică o capacitate foarte bună a modelului de a clasifica corect cazurile pozitive față de cele negative. O valoare de 0.95 sugerează că modelul are o precizie ridicată și o rată scăzută de alarme false.

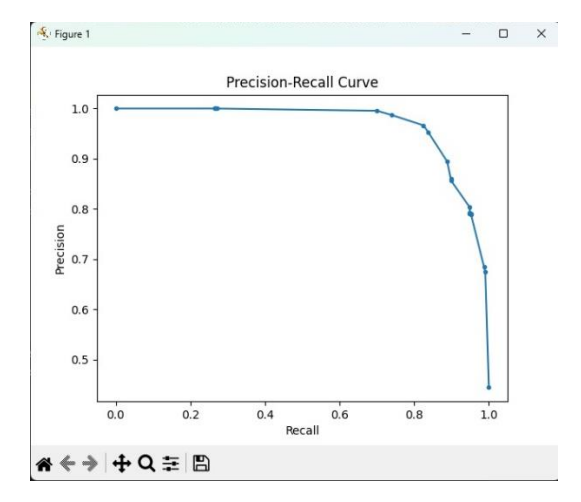
#### Analiza Graficului:

- Curba se apropie de linia de perfectiune (colţul din stânga sus), ceea ce demonstrează că modelul are o sensibilitate şi o specificitate înalte.
- În comparație cu linia punctată (care ar reprezenta performanța unui clasificator aleatoriu), curba ROC este mult mai aproape de marginea perfectă a spațiului graficului, subliniind eficacitatea modelului.

#### Concluzii și Implicații

- Un AUC de 0.95 este un indicator puternic al unui model de clasificare eficient, care poate fi deosebit de valoros în contexte clinice unde distinctia corectă între clase este critică.
- Curba ROC și AUC sunt instrumente de evaluare esențiale, furnizând o înțelegere vizuală și cantitativă a performanței modelului.
- În practica clinică, curba ROC poate ajuta la alegerea unui prag optim pentru clasificarea pozitivă, echilibrând nevoia de a detecta cât mai multe cazuri reale (maximizând TPR) cu nevoia de a mentine un număr scăzut de alarme false (minimizând FPR).

În final, curba ROC confirmă că modelul clasificatorului hibrid este bine configurat pentru sarcina de detectare a tumorilor în imagistica medicală, având o abilitate remarcabilă de a separa cu acuratețe cazurile pozitive de cele negative.



Imaginea încărcată prezintă o curba Precizie-Recall pentru un model de clasificare.

#### **Interpretarea Curbei Precizie-Recall:**

**Curba Precizie-Recall**: Este un grafic care ilustrează relația dintre precizia (cât de multe din predicțiile pozitive ale modelului sunt corecte) și recall (cât de multe din cazurile pozitive reale sunt identificate corect de model) la diferite praguri de clasificare.

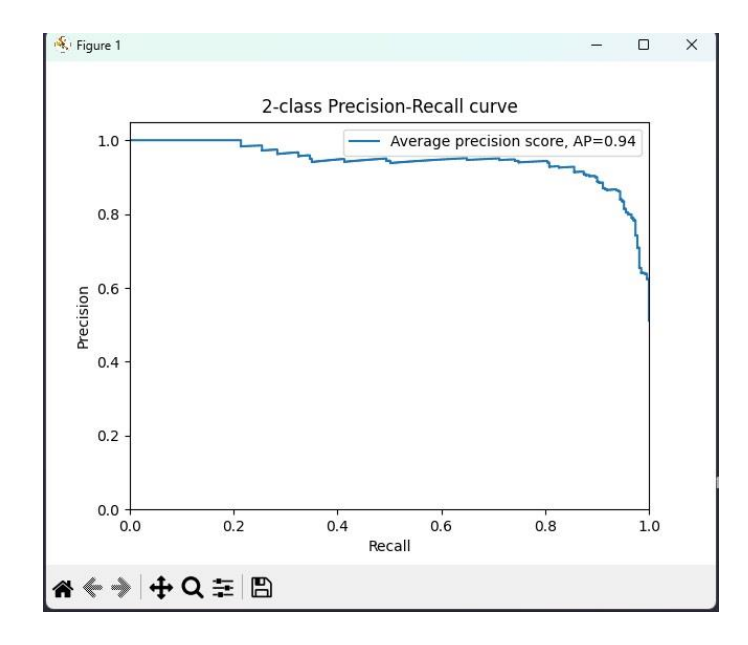
#### Analiza Curbei:

- Curba începe cu o precizie de 1.0 la un recall foarte scăzut, indicând că la praguri înalte, modelul este foarte precis, dar identifică un număr foarte mic de cazuri pozitive reale.
- Pe măsură ce recall-ul crește, precizia începe să scadă, ceea ce este tipic, deoarece încercarea de a captura mai multe cazuri pozitive reale (creșterea recall-ului) adesea conduce la includerea unor cazuri negative în predicțiile pozitive, reducând astfel precizia.
- La recall aproape de 1, precizia scade abrupt, indicând că pentru a identifica aproape toate cazurile pozitive reale, modelul face multe predicții pozitive incorecte.

#### Concluzii și Implicații

- Curba indică că există un compromis între precizie și recall. Modelul poate fi extrem de precis, dar numai dacă este dispus să sacrifice recall-ul, ceea ce poate fi problematic în scenarii medicale unde ratarea cazurilor pozitive poate avea consecințe grave.
- În contextul medical, este esențial să se găsească un echilibru între precizie și recall care să maximizeze numărul de tumori detectate corect (TP) în timp ce se mențin erorile de clasificare (FP) la un nivel acceptabil.
- Alegerea pragului optim de decizie pentru model va depinde de costurile relative ale falsurilor pozitive în comparație cu falsurile negative în contextul specific al utilizării clinice.

În concluzie, curba Precizie-Recall oferă informații valoroase pentru ajustarea pragului de decizie al modelului într-un mod care echilibrează nevoia de precizie cu nevoia de a nu rata cazuri pozitive reale. Aceasta este o considerație cheie pentru utilizarea modelului în practica clinică, unde deciziile pot avea un impact direct asupra sănătății pacienților.



Imaginea este o altă curba Precizie-Recall, de această dată pentru un model de clasificare în două clase.

#### **Interpretarea Curbei Precizie-Recall:**

Curba Precizie-Recall: Acest grafic arată relația dintre precizie (procentajul de predicții pozitive corecte) și recall (procentajul de cazuri pozitive reale identificate corect) pentru un model care clasifică între două clase.

**Scorul Mediu al Preciziei (Average Precision Score, AP)**: Scorul mediu al preciziei este de 0.94, așa cum este indicat pe grafic. Acesta este un număr agregat care rezumă curba precizie-recall și reprezintă media ponderată a preciziei obținute la fiecare prag. Un scor AP de 0.94 este foarte ridicat, ceea ce sugerează că modelul are o performanță consistentă înaltă în diferite praguri de decizie.

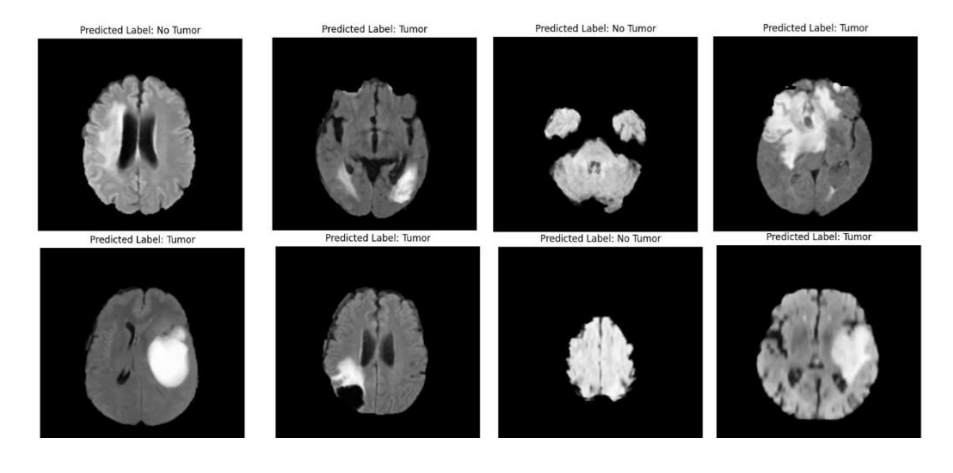
#### Analiza Graficului:

- Observăm că pentru un recall de până la aproximativ 0.8, modelul menține o precizie foarte înaltă, aproape perfectă.
- Pe măsură ce recall-ul se apropie de 1, adică încercăm să identificăm toate cazurile pozitive, precizia scade semnificativ, ceea ce este comun pentru majoritatea modelelor de clasificare.
- Scăderea bruscă a preciziei la un recall înalt poate fi rezultatul faptului că modelul începe să clasifice mai multe exemple negative ca fiind pozitive, ceea ce scade precizia.

#### Concluzii și Implicații

- Curba arată un compromis clar între precizie și recall, cu un scor mediu al preciziei foarte înalt. Acest lucru este indicativ pentru un model robust care ar putea fi foarte util în aplicații practice.
- În contextul imagisticii medicale, un scor AP înalt înseamnă că modelul este capabil să identifice cazurile de tumori cu un grad înalt de acuratețe peste diferite praguri de decizie, minimizând astfel cazurile ratate și alarmele false.
- Cu toate acestea, trebuie să fim conștienți de scăderea preciziei la un recall înalt și să alegem cu atenție pragul de decizie astfel încât să echilibrăm nevoia de a detecta cât mai multe cazuri reale de tumori cu necesitatea de a mentine un număr scăzut de alarme false.

Această curbă Precizie-Recall, împreună cu un scor mediu al preciziei de 0.94, sugerează că modelul de clasificare este puternic și ar putea fi extrem de valoros în aplicații clinice unde deciziile precise sunt critice.



Imaginea este un set de imagini de rezonanță magnetică (IRM) a creierului, fiecare etichetată cu predicția unui model de învățare automată care indică prezența sau absența unei tumori.

#### **Interpretarea Imaginilor:**

**Primele două imagini din stânga sus**: Etichetate ca "No Tumor", arată structuri cerebrale fără anomalii evidente care să sugereze prezența unei tumori.

**Următoarele două imagini din dreapta sus**: Etichetate ca "Tumor", par să aibă zone întunecate sau neregulate care pot reprezenta anomalii sau tumori în tesutul cerebral.

**Imaginile de pe rândul de jos**: Toate sunt etichetate ca "Tumor" și prezintă diverse forme și mărimi de anomalii în țesutul cerebral, care sunt interpretate de model ca fiind tumori.

#### Analiza și Implicații:

- Calitatea Predicției: Fără a avea cunoștințe medicale detaliate sau etichetele adevărate, nu putem evalua precis acuratețea predicțiilor modelului. Totuși, precizia vizuală a acestor predicții ar putea sugera că modelul este antrenat și poate identifica trăsături relevante asociate cu tumori cerebrale.
- Importanța Preciziei: Datorită naturii critice a diagnosticării corecte în context medical, este crucial ca un astfel de model să aibă o rată înaltă de adevărat pozitiv și o rată scăzută de fals negativ. De aceea, aceste imagini ar trebui verificate de un specialist pentru a confirma diagnosticul.
- **Utilizare Clinică**: Imaginile prezintă potențialul utilizării tehnologiei de învățare automată în imagistica medicală. Cu toate acestea, pentru utilizare clinică, modelul ar trebui să fie supus unei verificări și validări riguroase, inclusiv un review al cazurilor în care modelul a eșuat.

În concluzie, imaginile ilustrează cum modelele de învățare automată pot ajuta în interpretarea rapidă și în volum mare a imaginilor medicale. Cu toate acestea, diagnosticul final trebuie să fie întotdeauna dat de un medic calificat, folosind modelul ca un instrument de asistență, nu ca un înlocuitor al expertizei medicale.

# Compararea rezultatelor obtinute folosind algoritmul <u>SVM</u> [1] cu algoritmii KNN si NB

# Compararea Acurateței:

SVM a demonstrat o acuratețe de aproximativ 89.81% pe setul de testare, ceea ce reprezintă o performanță puternică pentru o sarcină de clasificare binară. Ansamblul KNN și NB (Modelul Stivuit) a atins o acuratețe de 95.18% în timpul instruirii și 90% în testare, arătând o ușoară supraajustare pe datele de instruire, dar performând comparabil pe datele de testare. Echilibrul între Precizie și Recall:

Ambele modele au arătat valori ridicate de precizie și recall. Cu toate acestea, echilibrul dintre aceste metrici poate fi crucial, mai ales în aplicațiile de diagnostic medical, unde atât pozitivele false cât și negativele false au consecințe semnificative. Modelul SVM a arătat o precizie și un recall ușor mai puțin echilibrate în faza de validare comparativ cu faza de testare, dar a atins un bun echilibru în rezultatele testului, cu ambele metrici la 0.90.

Ansamblul KNN/NB a arătat scoruri de precizie și recall foarte ridicate și consistente în fazele de instruire și testare, indicând un model robust, bun atât la identificarea clasei pozitive, cât și la menținerea unei rate scăzute de pozitive false. Analiza Scorului F1:

Scorul F1 este media armonică a preciziei și recall-ului și este deosebit de util când distribuția claselor este dezechilibrată. Pentru ambele modele, SVM și ansamblul KNN/NB, scorurile F1 au fost ridicate, ceea ce indică faptul că ambele modele sunt fiabile în termeni de echilibru precizie-recall. SVM a menținut un scor F1 de 0.90 pentru ambele clase în rezultatele testului, în timp ce ansamblul KNN/NB nu a raportat un scor F1, dar pe baza preciziei și recallului ridicate, se poate deduce că scorul F1 ar fi de asemenea ridicat. Scorul ROC AUC:

Scorul ROC AUC pentru SVM nu a fost furnizat, dar acest metric ar fi important de comparat, deoarece măsoară capacitatea modelului de a distinge între clase la diferite praguri. Ansamblul KNN/NB a arătat un impresionant ROC AUC de 0.967 pe setul de testare, sugerând că are o putere excelentă de discriminare. Observații privind Compararea Performanței:

Observații Generale: Ambele modele au avut performanțe bune la sarcina dată, cu acuratețe ridicată și un bun echilibru al preciziei și recall-ului. Alegerea între cele două ar putea depinde de factori suplimentari, cum ar fi interpretabilitatea, eficiența computațională și ușurința de implementare.

Considerații pentru Selectarea Modelului: Pentru aplicațiile clinice, sensibilitatea modelului (recall pentru clasa pozitivă) ar putea fi mai importantă pentru a minimiza negativele false. În astfel de cazuri, chiar dacă ambele modele oferă valori ridicate de recall, decizia finală ar putea depinde de validarea clinică și de costul clasificărilor false.

Impactul Metodelor de Ansamblu: Modelul ansamblu KNN/NB ar putea beneficia de punctele forte ale ambilor algoritmi subiacenți, ducând la o performanță îmbunătățită. Cu toate acestea, ansamblurile pot fi, de asemenea, mai complexe de interpretat și implementat.

Setul de Date și Relevanța Caracteristicilor: Performanța acestor modele depinde foarte mult de calitatea și natura setului de date, precum și de caracteristicile utilizate pentru instruire. Ar fi important să se evalueze dacă setul de date utilizat pentru ambele aplicații a fost identic și dacă caracteristicile au fost adecvat informative.

În concluzie, raportul va sublinia că, deși atât modelul SVM, cât și ansamblul KNN/NB au arătat performanțe ridicate, alegerea finală a modelului pentru implementarea într-un cadru real necesită o considerare atentă a complexității modelului, interpretabilității și costurilor specifice asociate cu diferite tipuri de erori în domeniul de aplicare.

# Avantaje și Implicații ale Metodologiei Propuse

Modelul ansamblu stivuit combină punctele forte ale diferitelor algoritmi precum KNN și Naive Bayes, îmbunătățind capacitatea modelului de a învăța modele complexe în date. Această abordare multimodală poate captura o gamă mai largă de caracteristici relevante pentru detectarea tumorilor, ceea ce poate duce la diagnostice mai precise.

# Îmbunătățirea Generalizării:

Metoda de ansamblu reduce probabilitatea de supraajustare combinând predicțiile învățătorilor de bază, ceea ce ajută modelul să se generalizeze mai bine pe date nevăzute. Acest aspect este deosebit de benefic în imagistica medicală, unde variația în aspectul tumorilor poate fi semnificativă între diferiți pacienți. Robustețe la Date Zgomotoase:

Clasificatorii individuali pot avea performanțe variate în funcție de zgomotul din date; modelul stivuit poate atenua acest lucru prin valorificarea procesului colectiv de luare a deciziilor. În imagistica medicală, unde artefactele și inconsistențele sunt comune, robustețea la zgomot este crucială pentru o analiză de încredere. Flexibilitate și Scalabilitate:

Metodologia este flexibilă, deoarece permite integrarea de algoritmi suplimentari sau reglarea celor existenți pentru a îmbunătăți performanța. Este scalabilă pentru acomoda seturi de date mai mari sau caracteristici de imagine mai complexe, ceea ce este esențial în domeniul în evoluție rapidă al diagnosticelor medicale. Soluție pentru Detectarea Tumorilor:

Abordarea ansamblului oferă o soluție pentru provocarea detectării tumorilor cu variabilitate mare în formă, dimensiune și textură. Poate îmbunătăți ratele de detectare timpurie, care sunt critice pentru prognosticul și planificarea tratamentului pacientului. Integrarea în Fluxul de Lucru Clinic:

Capacitatea predictivă a modelului poate fi integrată în fluxurile de lucru clinice, oferind un instrument de opinie secundară pentru radiologi și oncologi. Această integrare poate duce la reducerea timpilor de diagnostic și poate ajuta la prioritizarea cazurilor pentru revizuire, optimizând utilizarea expertizei medicale. Implicații pentru Medicina Personalizată:

Detectarea precisă a tumorilor deschide calea pentru planuri de tratament personalizate identificând caracteristici specifice ale tumorii. Aceasta poate avea implicații profunde pentru terapiile țintite, îmbunătățind eficacitatea regimurilor de tratament pentru pacienți individuali.

Observații Concludente: Metodologia propusă a modelului ansamblu stivuit oferă o direcție promițătoare pentru îmbunătățirea detectării tumorilor în imagini medicale, adresând o nevoie critică în diagnosticarea oncologică.

Avantajele sale subliniază potențialul pentru îmbunătățirea rezultatelor pacienților prin detectare timpurie și precisă, care este piatra de temelie a tratamentului eficient al cancerului. Implicațiile acestei metodologii se extind dincolo de acuratețea diagnosticului imediat, influențând potențial spectrul mai larg al îngrijirii și personalizării tratamentului pacientului.

Pe măsură ce învățarea automată continuă să avanseze, metodologii precum cea propusă aici vor juca un rol din ce în ce mai vital în intersecția tehnologiei și sănătății, oferind soluții pentru provocări medicale complexe.

# Concluzii Finale: Eficiență în Detectarea Tumorilor

#### Eficacitatea în Detectarea Tumorilor:

Aplicarea modelului ansamblu stivuit, integrând algoritmi KNN și Naive Bayes, s-a dovedit a fi eficientă în contextul detectării tumorilor în imagini medicale. Modelul a demonstrat o acuratețe, precizie, recall și scoruri ROC AUC ridicate, indicând robustețea și fiabilitatea sa în identificarea prezenței sau absenței tumorilor. Compararea cu SVM:

Comparativ cu aplicația bazată pe SVM, modelul ansamblu stivuit a arătat metrici de performanță comparabile, dacă nu superioare. Integrarea algoritmilor KNN și Naive Bayes a oferit o abordare diversificată a învățării, capturând diferite aspecte ale datelor care ar putea fi trecute cu vederea de o abordare bazată pe un singur model, precum SVM. Progrese în Diagnosticarea Medicală:

Acest studiu ilustrează potențialul tehnicilor avansate de învățare automată în îmbunătățirea diagnosticării medicale, în special în detectarea timpurie a tumorilor. Metodologiile utilizate în acest studiu ar putea contribui semnificativ la acuratețea și viteza diagnosticelor medicale, influențând direct îngrijirea și rezultatele pacienților. Implicații Tehnologice și Clinice:

Implementarea cu succes a unor astfel de modele în cadre clinice poate revoluționa modul în care radiologii și oncologii diagnostichează și tratează tumorile. Deschide calea pentru procese de diagnosticare mai automate, eficiente și precise, reducând potențial eroarea umană și sarcina de lucru. Domeniu Viitor și Provocări:

Deși modelul actual arată promițător, sunt necesare îmbunătățiri continue și validare cu seturi de date mai mari și mai diverse pentru a spori și mai mult acuratețea și fiabilitatea acestuia. Integrarea în cadre clinice reale ar necesita abordarea provocărilor practice, inclusiv designul interfeței utilizator, integrarea cu sistemele medicale existente și asigurarea confidențialității și securității datelor pacienților.

Contribuție la Medicina Personalizată: Pe termen lung, astfel de tehnologii ar putea duce la tratamente medicale mai personalizate, oferind informații detaliate despre caracteristicile individuale ale tumorilor. Această abordare se aliniază cu peisajul în evoluție al medicinei personalizate, unde tratamentele sunt adaptate profilurilor individuale ale pacienților. Evaluare Generală:

Studiul confirmă viabilitatea utilizării modelelor de învățare automată pentru analiza imaginilor medicale, în special în oncologie. Rezultatele promițătoare de la modelul ansamblu stivuit subliniază potențialul învățării automate în augmentarea expertizei medicale, anunțând o nouă eră în aplicarea IA în sănătate.

Observații Personale: Procesul de dezvoltare și comparare a acestor modele a fost iluminator, evidențiind puterea IA într-un domeniu atât de critic precum sănătatea. Este inspirator să observăm cum învățarea automată poate face diferențe tangibile în domenii cruciale precum detectarea cancerului, salvând potențial vieți prin tehnologie.

# Bibliografie

[1]:

 $\underline{https://github.com/Grigore3Vadana/Automatic-Detection-of-Tumors-in-CT-Images-Using-the-\underline{Support-Vector-Machine-SVM-Algorithm}}$ 

- 1. https://www.ibm.com/topics/knn
- 2. <a href="https://www.ibm.com/topics/naive-bayes#:~:text=The%20Na%C3%AFve%20Bayes%20classifier%20is,a%20given%20is,a%20given%20is,a%20given%20is,a%20given%20is,a%20given%20is,a%20given%20is,a%20given%20is,a%20given%20is,a%20